

II-26 河口近傍の流れに関する現地観測結果について

岩手大学工学部	(正)	堺 兴樹
北海道大学工学部		瀬尾暢宏
東海大学札幌校舎	(正)	泉 利
日本データサービス(株) (正)	鈴木重信	桜庭章彦
北海道大学工学部	(正)	小野敏行, 佐伯 勝

1. 緒言

河口閉塞機構を解明するには、河川からの流れと波の共存する場での砂の移動を把握することが不可欠である。また、その外力となる波浪も流れの影響を大きく受けるため、流れによる波の変形に因しても十分理解しておく必要がある。そのため、従来より流れによる波の変形、共存場での砂移動に関する理論的あるいは実験的研究が多く行われてきた。

河口から流出された河川水の挙がり方は、河川水と海水の混合の強弱によって異なるが、中小河川で、特に河口閉塞が問題となる場合での流量はかなり少なく、弱混合の状態であり、塩水上に淡水が挙がるいわゆる密度流になつてゐると考えられる。しかし、従来の実験では密度差を考慮したものはほとんどなく、等密度流体によるものであり、現実の河口では予想される密度差の性質の効果が評価されていない。現実に近い状態で実験を行うには当然密度流として取扱わなければならぬが、それには多くの実験的困難さが生じる。また現実にはどの程度の密度差があり、その効果がどの様なものであるかに関しては未解明な部分が多く残されている。

今後、河口付近の流れの場での諸現象を研究する際に、密度流として扱う場合の実験的困難さにむかかわらず、密度流として扱う必要があるかどうか、また従来の研究でのように等密度流として扱い得るのはどのような場合であるのかを判断する一資料を得るために、河川水の海上への挙がりに関する現地調査を行つたので、ここにその結果を報告する。

2. 調査内容及び方法

本調査では、札幌市北西部を通り小樽市の海岸に流れる新川の河口を対象とした。新川河口を調査対象とした理由は、新川の流域面積が比較的狭く、流出水の多くは都市下水が占めており、年間を通じて流量の変化が少々ないと考えられることがある。調査項目は、河口部での流速と塩分濃度の横断分布、海域での塩分濃度、表面及び底面での流向、流速、表面での流跡線である。流速は東邦電探製 CM-2S型 電気流速計を用い、30秒間の平均とした。塩分濃度は東邦電探製 ECT-5型 塩分検出計を用い、水温と電導度を測定し、塩分濃度に換算した。流向は流速計の流方向部が故障したため、目視で行った。流跡線は河口に投入した浮子を陸上の2台のトラニシットによって追跡したもの。調査時期は1983年8月25日～27日、9月6日～7日である。

3. 調査結果

3-1. 河口部での流速分布、塩分濃度分布

河口での流速の横断分布を図-1に示す。流出流量は4.12秒である。図-2は石狩湾新港での潮位記録であるが、観測時(8月25日12:30～13:30)は上げ潮時に当つており、その前後の潮差は約8cmである。一般に、流量が少なくて、潮差が小さい場合には弱混合の状態になり、塩水クリビが生じることが明らかにされているが、新川河口付近でも、流量・潮差とも小さく、塩水クリビが発生してあり、さらに上げ潮時に当つているため、塩水クリビが上流に飛達している時期である。そのため塩水が占めている下層では上流に向う流れが生じているのが認められる。また、上層では左右両岸近くに2つの主流部が見られ、また上層中央では下方が上方に比べ流速が遅くなつていることから、石岸側では時計回り、左岸側では反時計回りの渦が存在するようである。

これは縦渦が発生している場合の流速分布に似ている。しかし、縦渦では渦の水深方向と横断方向のスケールはほぼ同一であることが¹⁾、これは一般に言われる縦渦ではなく、上流の地形の影響などによるセン断力の差による渦であるものと思われる。

図-3は横断面での塩分濃度分布である。観測時期が流速分布の時期と異なるため、残念ながら流速分布と濃度分布との関連については検討できないが、水深方向に塩分濃度の変化が現われており、塩水 intrusion が生じていることが塩分濃度分布からもわかる。

3-2. 海域での流向・流速、塩分濃度分布、流跡線

図-4は河口を中心にして南北方向に200m、沖方向に220mの範囲での深浅図である。この範囲で縦・横20m間隔で塩分濃度の鉛直分布を測定した。この結果より、各水深での塩分濃度分布を示したのが図-5～12である。これららの図を比較すると、表面近くとそれ以下の部分で淡水の拡がり方にちがいがあることが認められる。すなはち、表面及び水深20cmでは河口から右岸寄りに河川水が拡がっているように見られる。図-13に示した表面の温度分布にも同様な傾向が現われている。それに対し、水深40cm～60cmでは、むしろ塩分濃度が低い部分が左岸寄りに多くはており、この水深の範囲では河川水は直進せず、左右に分かれ拡散していることがわかる。この原因は図-1に示した河口での流速分布で左右両岸近くにある主流部が海域に出てからも保存され、表面近くでは全体的に右岸寄りに拡がるにもかかわらず、中層では2つの主流部が左右に分かれ拡がっていることによるものではないかと考えられる。

図-4中のX印は碎波帯を示したものである。河口前面の碎波帯では、あまりはっきりしない碎波が生じており、またその位置は比較的岸に近い。ところが、右岸側にはかなり沖側に碎波帯があり、また左岸側も右岸側ほどではないものの、河口前面に比べ沖側に碎波帯がある。逆流の影響を受ける波浪の碎波水深は、流量が大きい程度に周期が短かい程深くなることが実験的に明らかにされていて²⁾、本調査の場合中層の流れが左右に分かれているため、河口前面よりもその両側に強い流れが生じているので、河口前面より両側の碎波帯のすか逆流の影響によって沖側へ移動していることが認められる。

表面及び底面での流向・流速を測定したのが図-14である。実線で示す表面の流向・流速は全体的に右岸寄りに大きな速度を持っている。これは図-5に示したように、表面の塩分濃度が右岸寄りにはてているのに対応している。しかし、底面では必ずしも表面の流向と一致していない、場所によりては逆向きの流れが生じている場合があり、海域内部での流れがかなり複雑な様子であることがうかがえる。

図-14では海域での流線が明確ではないので、等子を用いてその流跡線を測定したのが図-15である。これは図-14の観測より約10日後(9月6日・7日)に観測したものであり、その間一日だけ数時間の降雨があったため、流量が多少異なることが考えられるが、降雨量が少ないので、その程度差はないと思われる。流跡線の间隔の拡がりを図-16(n :流跡線间隔、 α :距離)に示したが、柏村・吉田の分類による流出パターンでは³⁾、タイプAあるいはタイプBに相当するようである。しかし、表面の流出が全体的に拡がっているのに対し、中層部では海域に入りからも左右両岸の主流部が保存され、強い流れが両側に分かれているわけであるから、表面の流出パターンだけではなく内部の流れを予想するのが困難な場合があり得ることをこの調査は示している。

海域での塩分濃度を流跡線に沿って示したのが図-17～19である。図-17の左岸側の流跡線上では、0から15‰までの等濃度線は水面に対して比較的直角に近く、水深方向にはほぼ一様な濃度分布となっている。20‰以上になると淡水が表層にうすい層にて拡がっている。特に注目されることは、濃度が水深方向に一様にはてている領域と淡水が表層に層状に存在している領域とが碎波帯を境に区別されることがある。これは碎波による乱れにより碎波帶では上下方向の拡散が著しく、子に碎波後の亂れた波によつても上層と下層の混合が強く、濃度が水深方向にはほぼ一様にはてるものと考えられる。また碎波帶以深では進行波の持つ運動による上下方向

の拡散は碎波帯内及び碎波後の波に比べるとかなり小さいため、淡水が表層に拡がりやすく。図-4と図-15からわかるように、河口前面での流跡線(S-5)では、ほとりとした碎波が認められなかつた。このようないずれの流跡線に沿っては(図-18)，海域に出でたりか層状に拡がつてあり、水深方向の濃度差が常に存在している。また右岸側の流跡線では(図-19)，汀線附近が深くなつているので底面附近では高い濃度であるが、表面から中層にかけては碎波帯以浅では、濃度差が小さく、左岸側程明らかではないが碎波帯と境に沿つて濃度分布に連続がある。ここれらの図を比較すると、海域に拡がる河川水を扱う場合には、碎波帯以深では密度変化を考慮、たゞいわゆる密度流として、また碎波帯以浅では水深方向にはほぼ一様で水深の増加に伴い密度が高くなるようなモデルを考えることが妥当であることを示しているのではないかと考えられる。

最後に、本調査を行つにあたり全面的に協力していただいた北海道大学工学部土木工学科4年生押川定生、竹内貴弘、平田亨、和泉恵之、奥村伸人、大学院生佐藤典之諸氏に感謝の意を表します。また、調査期間中の汽象・海象の資料をこころよく使用させてくださった北海道開拓局小樽港湾建設事務所の関係各位に感謝の意を表します。

〈参考文献〉 1) 黒木幹男、岸刀：開水路に発生する微弱の構造の研究、土木学会論文報告集 No.312.

1981-3, 2) 堀茂樹、大塚勇彦、佐伯浩、尾崎晃：斜面上での碎波に及ぼす流れの影響に関する基礎的研究、第28回海講、1981, 3) 例えは 吉田幹男：河口密度流に及ぼす地形の影響、第29回海講、1983.

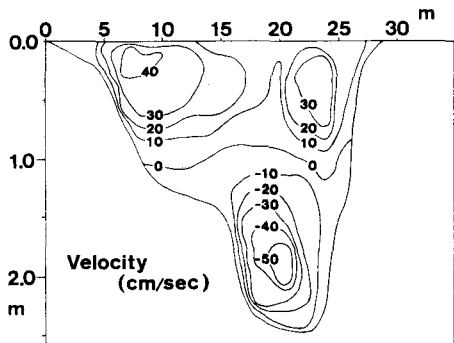


図-1 河口部での流速分布

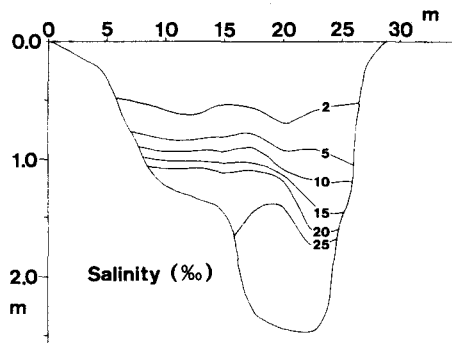


図-3 河口部での塩分濃度分布

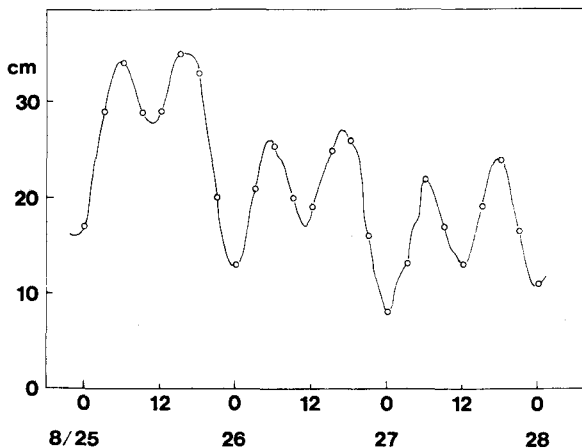


図-2 石狩湾新港での潮位記録

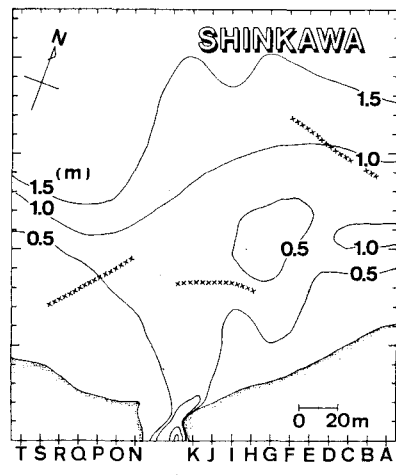


図-4 深浅図

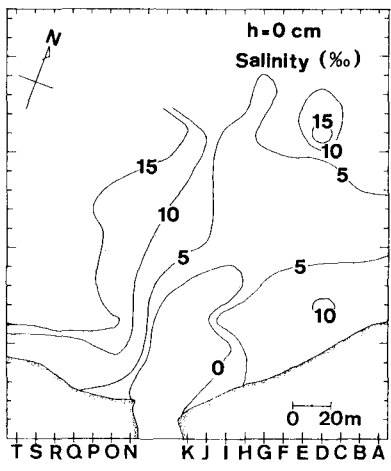


図-5 塩分濃度分布(表面)

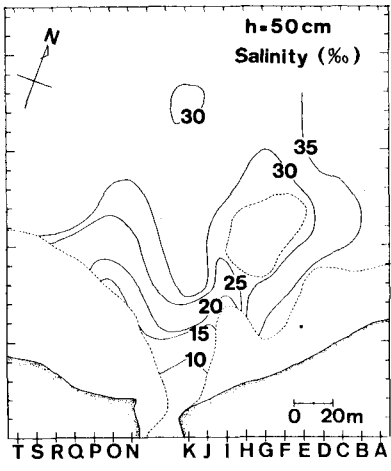


図-8 塩分濃度分布(h = 50 cm)

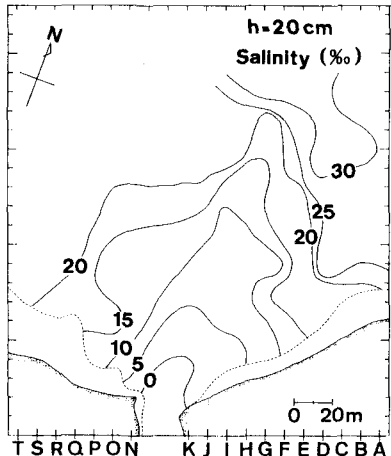


図-6 塩分濃度分布(h = 20 cm)

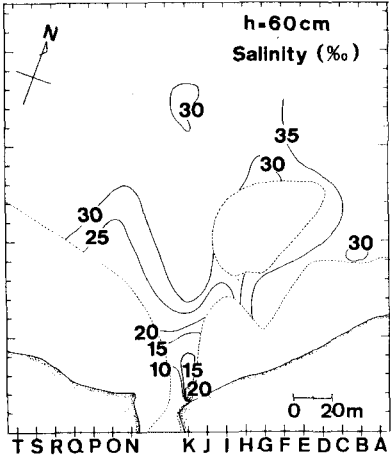


図-9 塩分濃度分布(h = 60 cm)

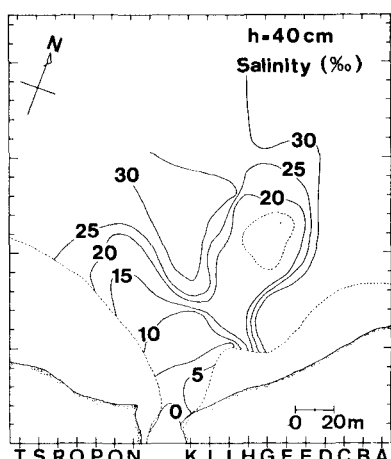


図-7 塩分濃度分布(h = 40 cm)

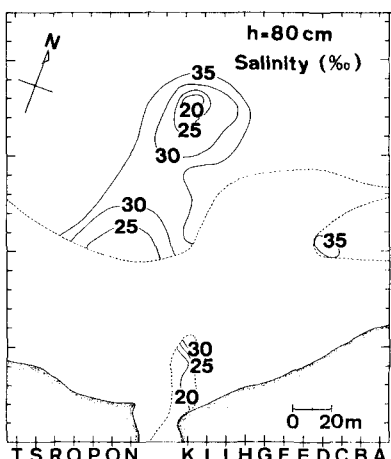


図-10 塩分濃度分布(h = 80 cm)

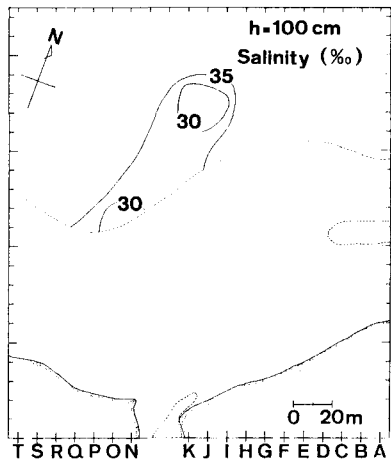


図-11 塩分濃度分布 ($h=100\text{ cm}$)

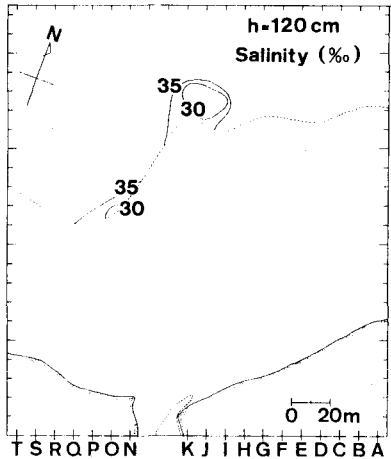


図-12 塩分濃度分布 ($h=120\text{ cm}$)

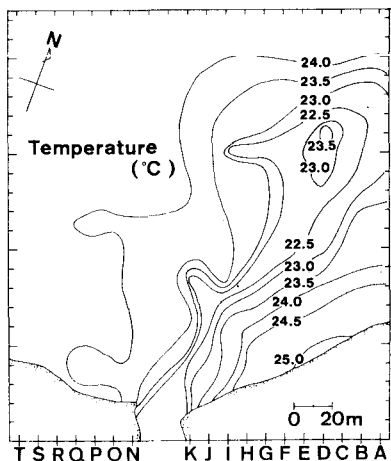


図-13 水温分布 (表面)

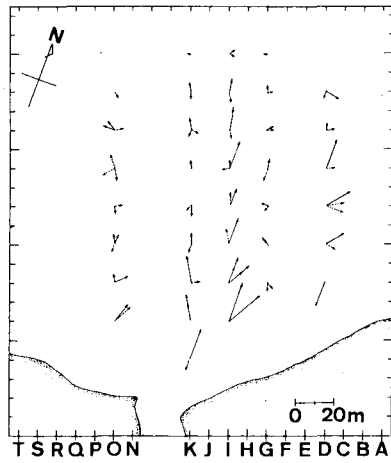


図-14 表面及び底面での流向・流速

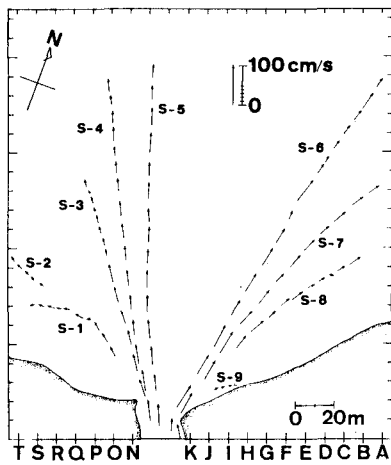


図-15 流跡線

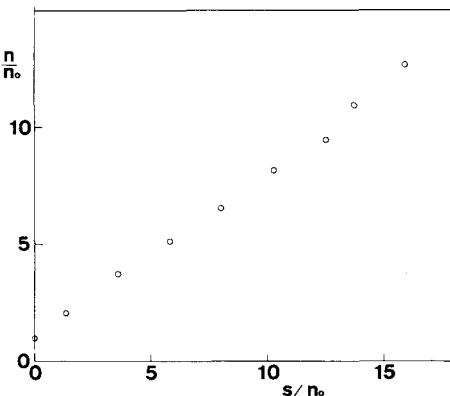


図-16 流跡線間隔の拡がり

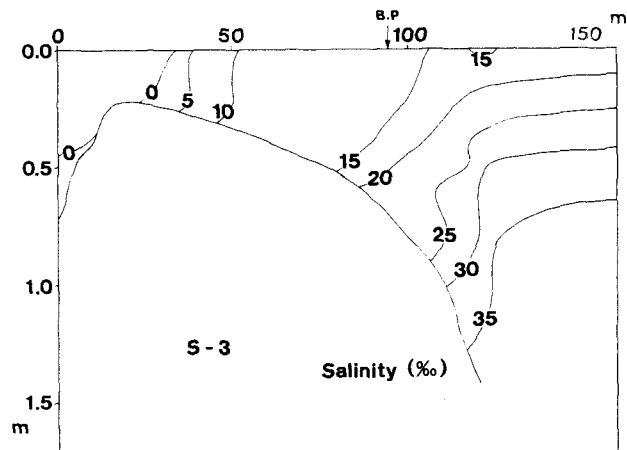


図-17 流跡線に沿う塩分濃度分布(S-3)

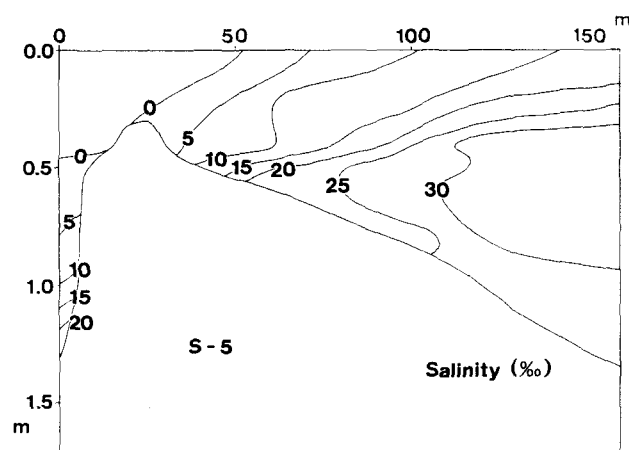


図-18 流跡線に沿う塩分濃度分布(S-5)

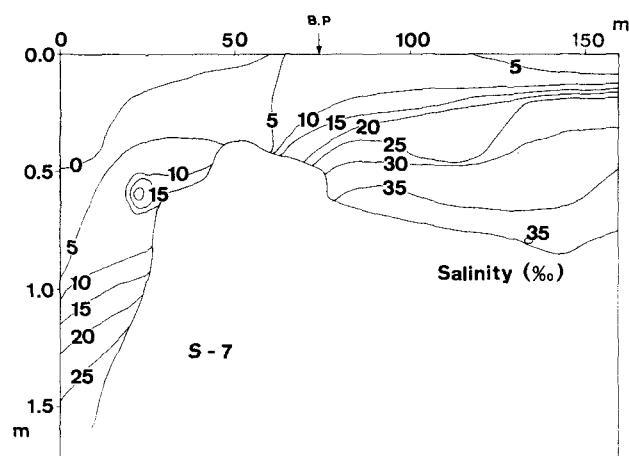


図-19 流跡線に沿う塩分濃度分布(S-7)